

52.12

462

松散介质静力学

B. B. 索科洛夫斯基著

地质出版社

松散介質靜力學

B. B. 索科洛夫斯基 著

徐志英 譯

21565/14

地質出版社

1956·北京

В. В. СОКОЛОВСКИЙ
СТАТИКА
СЫПУЧЕЙ СРЕДЫ
ИЗДАНИЕ ВТОРОЕ
ПЕРЕРАБОТАННОЕ И ДОПОЛНЕННОЕ
ГОСТЕХИЗДАТ
МОСКВА 1954

本書是論述極限平衡理論的專門論文，全書共分五章，在第一章中应用了極限狀態的一般条件对松散介質的平面極限平衡理論加以描述，將平面極限平衡方程進行了詳細的研究，同時闡明了關於力学相似性的問題。第二章提出並解決了關於松散介質靜力学中的很重要的問題——地基与斜坡的穩定性問題，並以相应的力学模型來加以說明；第三章中專論了有關擋土牆上填土壓力的問題，同時也叙述了層狀和各向異性的松散介質的平面極限平衡理論，關於同時有間斷綫產生的松散介質的極限平衡也作了研究，對於折綫形擋土牆及兩平行擋土牆上填土的壓力問題也作了討論。第四章敘述理想松散楔的極限平衡，分析了關於填土应力狀態，地基的穩定性，擋土牆上的壓力諸問題，對於同時有極限状态和彈性状态區域存在的若干問題也加以研究。第五章包括無內摩擦力的理想黏結性介質的平面極限平衡理論。所有各章的敘述都舉有例子，並附以許多圖表，使我們能更有效地在實踐中和理論研究中廣泛地應用書中所論述的方法。本書適合於高等学校相应專業作教材參考用，同時對於从事水工建築，土木工程建築實際工作的工程師和技術員們以及从事理論研究的這方面學者們都有很大的價值。本書係由華東水利學院徐志英同志翻譯。

松散介質靜力学 252,000字

著 者 索 科 洛 夫 斯 基
譯 者 徐 志 英
出 版 者 地 質 出 版 社
北京宣武門外永光寺西街3号
北京市書刊出版發售許可證出字第零伍號
發 行 者 新 華 書 店
印 刷 者 天 津 人 民 印 刷 厂

編 輯：吳光輪 技術編輯：李壁如、張華元
校 対：吳學華、洪梅玲

印數(京)1—4,200 冊 一九五六年七月北京第一版

定價(10)1.70 元 一九五六年八月第一次印刷

開本 31"×43" $\frac{1}{16}$ 印張 12 $\frac{1}{2}$ 插頁

目 錄

第二版原序	5
緒 論	7
第一章 松散介質的極限平衡.....	11
第一 節 極限狀態條件與平衡方程.....	11
第二 節 松散介質的平面極限平衡.....	20
第三 節 沒有体力的極限平衡方程.....	28
第四 節 有体力的極限平衡方程.....	35
第五 節 方程的數值積分.....	41
第二章 地基和斜坡的穩定性.....	48
第六 節 地基的應力狀態.....	48
第七 節 最小壓力及地基穩定性.....	58
第八 節 最大壓力及地基穩定性.....	73
第九 節 傾斜荷重下地基的穩定性.....	85
第十 節 斜坡的穩定性.....	97
第三章 擋土牆上填土的壓力 層狀松散介質	111
第十一 節 擋土牆上填土的主動壓力.....	111
第十二 節 擋土牆上填土的被動壓力.....	125
第十三 節 傾斜擋土牆上填土的壓力.....	131
第十四 節 折線形擋土牆 平行的擋土牆.....	141
第十五 節 層狀松散介質的平面極限平衡 層狀地基的穩定性.....	159
第四章 松散楔的極限平衡.....	172
第十六 節 用極座標表示的極限平衡方程.....	172
第十七 節 楔的應力狀態.....	180
第十八 節 地基的穩定性.....	190
第十九 節 擋土牆上填土的壓力.....	202

第二十節 傾斜擋土牆上的填土壓力.....	217
第五章 黏性介質的極限平衡.....	229
第二十一節 理想黏結性介質的平面極限平衡 地基的应力狀態.....	229
第二十二節 地基和斜坡的穩定性.....	243
第二十三節 擋土牆上的填土壓力 半平面的应力狀態.....	257
第二十四節 黏結性介質的平面極限平衡.....	269
第二十五節 地基的穩定性.....	276
第二十六節 旋輪線狀的極限曲線.....	282
參考文獻	292
俄華人名对照.....	299
俄華名詞对照.....	300

第二版 原序

这一本論述極限平衡理論的專門論文“松散介質靜力学”的第二版是完全重寫的。它將第一版問世之後的時期內所發展的一系列的新的問題都包括了進去。茲將該論文的簡單內容介紹如下。

第一章是導論，同時应用了極限狀態的一般條件對松散介質的平面極限平衡理論加以描述。在本章中將平面極限平衡方程進行了詳盡的研究，並把這些方程化為標準組。對標準組也構成其基本邊值課題並提供了數值積分的有效方法。同時也闡明了關於力學相似性的問題，這個問題無論是對於計算或對於模型研究都有很大的意義。

第二章提出並解決關於松散介質靜力学中的很重要的問題——地基與斜坡的穩定性問題。為了更清楚起見，全部所提出的這些課題都用相應的力學模型來加以說明。未知解答的作出使為標準組得到邊值課題的組合。各處都包括具有異點的某種解答作為基本單元，這種異點在特徵平面上相當於整個特徵線段。

第三章專論有關擋土牆上填土壓力的典範問題，這裡未知解答的作出仍然使我們為標準方程組得到邊值課題的組合。關於同時有間斷線發生的松散介質的極限平衡也作了單獨的研究。對於折線形擋土牆及兩平行擋土牆上填土的壓力問題也作了討論。

此外，成層狀而各向異性的松散介質之平面極限平衡理論的敘述也佔有特殊的地位。這理論在有關層狀地基穩定方面的重要問題上給出了相當詳細的說明。

第四章屬於理想松散楔的極限平衡。根據沒有黏聚力的理想松散介質的特點，使在本書中所涉及的問題能得到比基於一般理論還要簡單的解答。此處分析了關於填土的應力狀態、地基的穩定性、擋土牆上的壓力諸問題，對於同時有極限狀態和彈性狀態區域存在的若干問

題也加以研究。上述諸課題可以用緊縮形式來解決或化為普通非直線性方程的積分。

第五章包括無內摩擦力的理想黏結性介質的平面極限平衡理論。它是與平面塑性平衡理論相類似的，可得出關於地基和斜坡穩定性的很多課題的解答，以及擋土牆上的壓力課題的解答。

利用一般形式的極限狀態條件的黏結性介質的平面極限平衡理論，也佔有很多篇幅。在本章中對平面極限平衡方程進行了詳細的研究，並將這些方程化為標準組。於是可以看出，對於極限狀態條件的某些特殊形式，極限平衡方程是具有積分的。此外還研究了關於矩形及帶形的壓縮課題，而這些課題的解答是具有緊縮形式的。

所有各章都舉有例子，並輔以許多圖表，為簡略起見，表中只保留小數後兩位數字，但計算是進行得很精確的。其中某些例子的列舉，其目的只在說明所要敘述的方法而已，而另一些例子，則在進行相應的實際計算中可以應用。

為方便起見，將所引用的參考文獻單獨成篇，置於本書之末。書內應參考這些文獻的地方，則按例方括弧中註明的編號查對。

最後，作者對本書第一版的所有批評者和關懷者，致以熱誠的謝意。在編制表格及準備原稿付印時，承蒙柯契特科夫(А. М. Кочетков)、麥依斯捷爾(В. А. Мейстер)和布茨克(З. Н. Буцк)大力幫助，作者也向他們表示感謝。

索科洛甫斯基
莫斯科 1953年10月

緒論

在松散介質靜力学中主要研究兩種應力狀態：第一種應力狀態是体力或面力不大的改變還不能引起平衡的破壞，另一種應力狀態是當同樣的体力和面力有某些改變時，甚至是極小的改變時，就失去了平衡。

今后我們將着重研究第二種應力狀態——所謂極限應力狀態，該狀態直接與代表松散介質抗剪強度的基本力學常數有關。它們構成了極限平衡的內容，這理論在近代已獲得極為廣泛的發展。

這個理論的創始者、庫倫 (К. Кулон) (1773) 早已推導出極限平衡的基本原理，並應用這原理來確定水平填土對具有垂直而光滑牆背的擋土牆的壓力，這一解答是假定滑動面為平面而求得的。同一原理以後也被應用來求為任意平面所局限的填土作用在具有傾斜的或折線形的粗糙牆背的擋土牆上的壓力。繼之，連金 (В. Ренкин) (1857) 研究了以傾斜平面為界的無限體的極限平衡，他引用關於滑動面的概念，以求得松散介質的極限狀態的條件，帕烏克爾 (Г. Е. Паукер) 曾將這些條件應用於評價地基的穩定性方面。以後，庫爾豪莫夫 (В. И. Курдюмов) (1889) 進行了一系列的地基極限強度的實驗，這些實驗明顯地指出平衡的破壞是由於松散介質沿着某種曲面的滑動而發生。

在崔托維奇 (Н. А. Цытович) 的著名教程中所詳細分析的關於極限平衡理論問題，是從兩個方向來進行新的研究。

第一個方向的目的在於建立極限平衡的簡化理論，使得能以最簡單的方法分析各種不同的問題。這一方面會由別爾澤茨基 (С. И. Белзецк) (1914)、克列依 (Г. Крей) (1918)、格爾謝凡諾夫 (Н. М. Гершеванов) (1923)、普茲列夫斯基 (Н. П. Пузыревский) (1923) 和費連尼烏斯 (В. Фелениус) (1926) 等人應用某些最簡單形狀的滑動面的

假定——平的、稜柱形的或圓筒形的——而加以發展。

根据这种假定，將每个問題的研究簡化为只需探求所选形狀的滑动面的最不利位置，虽说沒有足够的根据，但常常能給出適當的結果。因此，普罗科弗耶夫(И. П. Прокофьев)(1934)和別祖霍夫(Н. И. Безухов)(1934)二位所進一步修訂过的、而以后更輔以方便圖表的簡化理論，迄今还頗為廣泛地使用着。

第二个方向是繼承着連金的理想，企圖作出極限平衡的嚴正理論，以便用此理論能够研究各种不同問題和尋求適當的滑动綫網。这理論首由克捷尔(Ф. Кеттер)(1903)研究，他採用平衡微分方程和每点的極限状态条件，已經組成松散介質極限平衡的方程組，而以后成功地从事於这一理論的研究工作。

普蘭特尔(Л. Прандтль)(1920)對於進一步發展这理論起着很大的影响，他已经提出並研究了關於塑性平衡的一系列問題，並且他首先採用具有異点和一束通过該点的直滑动綫的解答。以后列依斯涅尔(Г. Рейснер)(1925)和諾沃托尔采夫(В. Н. Новоторцев)(1938)把这些結果用於地基穩定性的某些特殊問題上，不过僅对無重量的松散介質而言，此时那怕只要有一簇滑动綫是直線也好，同时解答具有緊縮形式。

卡尔曼(Т. Карман)(1927)和卡科(А. Како)(1934)是完全用另一种方法來研究理想松散介質極限平衡方程組的；他們在研究有重量填土对擋土牆的压力的某些特殊問題上已獲得成功，那时尙不可能作出簡單的解答。

但是，由於缺乏一般的方法，所有这些研究目前还不能取得在工程實踐中的廣泛应用。例如企圖以無重量松散介質的結果來用於有重量的地基的穩定性問題，就沒有得到特殊的成功，並且常常得到完全曲解的結果。

作者在这一領域內的最初著作(1939)，目的在於建立一般方法，使得可能研究有重量的松散介質的基本問題，在这种情况下兩簇滑动

綫是曲綫而且解答已沒有緊縮形式，在著作中已提供出並研究了關於極限平衡各種不同的課題，並且廣泛地利用具有異點和一束通過該點的滑動曲綫的解答。其次又指出怎樣來考慮松散介質的不均質性、多層性和層狀的各向異性以及其他複雜的因素。不久以後在本書“松散介質靜力學”的第一版中將所得的結果完全綜合起來。

隨後，有很多各種不同的研究，為簡單起見，我們僅指出其中的某一些研究。首先，戈盧什克維奇(С. С. Голушкевич)(1948)作出了極限平衡方程積分的圖解法，根據該法繪作滑動綫網和特殊的極圖；他主要是在已往對無重量和有重量松散介質所分析的問題上來說明這個方法。其次，別列贊采夫(В. Г. Березанцев)(1948)對於在所謂完全極限狀態下的軸對稱極限平衡問題進行了研究；他作出可以研究各種不同問題的方法，並進行地基極限強度的若干試驗。以後，魯頻涅依特(К. В. Руппенейт)(1950)將前面所建議的一般方法應用於黏結性介質極限平衡的一系列問題上，同時還發表了有價值的論斷。

作者在同一領域內的最近著作(1947—1953)的目的為：一方面在於建立可以同時研究黏結性介質極限平衡問題的一般方法，另一方面是探求可以足夠簡化地分析理想松散楔應力狀態的各種不同問題的方法。

所有這些研究成果，無論對所涉及問題之範圍的擴大方面，或者對所應用的方法的效率提高方面，都是極限平衡理論的巨大發展，這理論已成為松散介質靜力學中工程計算的可靠基礎。

固然，由於計算的某種複雜性和繁重性，現今對繪制滑動綫網還有着一定的困難。但是，借助於編制適當的圖表和確立各種近似的方法，這些困難已可大大地減少，或者甚至可以完全沒有。上述的簡化計算的可能性目前已開始在相當廣泛的範圍內實現。

極限平衡理論的進一步研究，必定要與實驗相配合，根據實驗不僅對松散介質平衡破壞的形狀可得到一般概念，而且也可得到一定的、足夠可靠的、定量的結果。當然，這種具有巨大意義的實驗的基

本目的，是在於檢驗理論結果和說明其結果的应用限度。

这本“松散介質靜力学”論文集的第二版，記述了平面極限平衡的理論並包含有適當問題的解答的一般方法。但是，本書的目的並非全部闡明所有屬於這方面的研究，很多這方面的研究已在其他文献中詳細分析過了，可直接去研讀它們。

第一章 松散介质的极限平衡

第一节 极限状态条件与平衡方程

我們研究松散介质的某一点，並設想通过該点有一具有法綫 n 的任意微面。在該微面上作用着应力向量，該向量具有法向分量 σ_n 和切向分量 τ_n （圖1）。

正如實驗所指出的[67]，在平衡破坏时，黏結性薄弱的松散介质沿着該微面的抗剪强度可能是一綫性关系。

$$|\tau_n| = \sigma_n \operatorname{tg} \rho + k,$$

因而，这个强度是由內摩擦力產生的阻力和黏聚力產生的阻力組成的。

常数 ρ 和 k 通常被称为內摩擦角和黏聚力系数，但是也可以簡單地將其作为表征松散介质总抗剪强度的参数來加以研究。

我們称沒有黏聚力($k=0$)的松散介质为理想松散体，而称沒有內摩擦力($\rho=0$)的介质为理想黏結性体。这些介质均具有某些特征，在今后这些特征將被我們特別注意。

首先，我們來推導松散介质在其任何內点处可能平衡的基本条件。

顯然，如果

$$|\tau_n| \leq \sigma_n \operatorname{tg} \rho + k, \text{ 並且 } \sigma_n \geq -k \operatorname{ctg} \rho,$$

則沿着所研究的面將不会發生滑动。

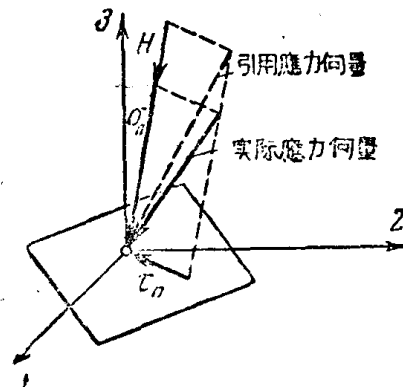


圖 1

系数

$$H = k \operatorname{ctg} \rho$$

是各方均等的极限抗拉强度，这系数在以后将广泛地被应用。

除了具有法线 n 的微面上的实际应力向量以外，研究所谓引用应力向量也是方便的，该向量有法向分量 $\sigma_n + H$ 和切向分量 τ_n 。

保证不发生滑动的不等式现今具有下列形式：

$$|\tau_n| \leq (\sigma_n + H) \operatorname{tg} \rho, \quad \text{并且} \quad \sigma_n \geq -H.$$

因此，在 H 不大的松散体中，只可能发生不大的法向拉应力，而在理想松散介质中，那时 $H = 0$ ，就只能有压缩法向应力。在这情况下，它们与固体物体有着重大的区别，后者 H 甚大，因而可能发生两种符号的大法向应力。

为了该点松散介质的平衡，在通过这点的任何微面上应当都满足上述不等式，因而，

$$\max\{|\tau_n| - (\sigma_n + H) \operatorname{tg} \rho\} \leq 0.$$

这时可能是两种不同状态，应当分别地来研究它们。对于

$$\max\{|\tau_n| - (\sigma_n + H) \operatorname{tg} \rho\} < 0$$

的松散介质的状态权且不问，而对于

$$\max\{|\tau_n| - (\sigma_n + H) \operatorname{tg} \rho\} = 0$$

时的状态进行详细的研讨，并称它为极限状态。

如果有些微面，其上的应力向量的法向分量 $\sigma_n = S$ 和切向分量的绝对值 $|\tau_n| = T$ 能满足关系式

$$T = (S + H) \operatorname{tg} \rho,$$

那么这些微面叫做滑动微面。这种面总是有两个：它们通过某一主轴，并以相同的角度倾斜于其他主轴。

如果某一区的所有点均处于极限状态，则我们将称这整个区是处于极限状态。

在发生极限状态的区域中，可以作出具有下列性质的面，即此面每点的切向平面均与相应的滑动微面相重合。这种面形成非正交的两

簇面系，我們稱這種面叫做滑動面。

因而，對於松散介質的極限平衡條件可作如下解釋，即在極限狀態時，切向應力的絕對值與作用在同一微面上法向應力的線性函數間之最大差等於零：

$$\max \{ |\tau_n| - (\sigma_n + H) \operatorname{tg} \rho \} = 0, \quad (1.01)$$

並且對於理想松散介質 $k = H = 0$ ，而對於理想黏結性介質 $\rho = 0$ 。

由此得出，理想黏結性介質的極限狀態條件是與著名的塑性條件相符合，該條件規定，在材料為塑性狀態時最大的切向應力保持一常數：

$$\max |\tau_n| = k.$$

今后將討論處在極限平衡中的松散介質的應力狀態。因此，將僅研究松散介質如下的這種區域，即在平衡沒有破壞和沒有呈現裂隙時就達到了極限狀態的那些區域。

現在我們來研究各向異性的松散介質，在該介質中沿着水平面的內摩擦角 $\bar{\rho}$ 和黏聚力系數 \bar{k} 較之沿着其他平面的內摩擦角 ρ 和黏聚力系數 k 為小：

$$\bar{\rho} < \rho, \quad \bar{k} < k,$$

我們並稱這些介質為層狀松散介質。

顯然，如果

$$|\tau_n| \leq \sigma_n \operatorname{tg} \rho + k = (\sigma_n + H) \operatorname{tg} \rho$$

或者

$$|\tau_x| \leq \sigma_x \operatorname{tg} \bar{\rho} + \bar{k} = (\sigma_x + \bar{H}) \operatorname{tg} \bar{\rho},$$

則沿着通過這點並具有法線 n 的任意微面將不會發生滑動，以上兩式要看該面是傾斜的或是水平的而定。

為了考慮該點中層狀松散介質的平衡，在通過該點的任何微面上均應滿足上述條件的第一個條件，因此，

$$\max \{ |\tau_n| - (\sigma_n + H) \operatorname{tg} \rho \} \leq 0, \quad |\tau_x| \leq (\sigma_x + \bar{H}) \operatorname{tg} \bar{\rho}.$$

這時可能發生三種不同的狀態，應當分別地加以研究，姑且將

$$\max\{|\tau_n| - (\sigma_n + H) \operatorname{tg} \rho\} < 0, |\tau_x| < (\sigma_x + \bar{H}) \operatorname{tg} \bar{\rho}$$

时的層狀松散介質的狀態不談，而來研究

$$\max\{|\tau_n| - (\sigma_n + H) \operatorname{tg} \rho\} = 0, |\tau_x| \leq (\sigma_x + \bar{H}) \operatorname{tg} \bar{\rho},$$

或者

$$\max\{|\tau_n| - (\sigma_n + H) \operatorname{tg} \rho\} \leq 0, |\tau_x| = (\sigma_x + \bar{H}) \operatorname{tg} \bar{\rho}$$

时的状态；其中第一种状态叫做普通極限状态，而第二种叫做特殊極限状态

在發生特殊極限状态的区域中容易作出滑动面。它們將是水平的平面。

正如實驗所証明[22]，沿着具有較大黏結性的介質的一定微面上的抗剪强度可以用某种非綫性关系來表示，即

$$|\tau_n| = f(\sigma_n),$$

該关系在平衡破坏时發生，並且函数 f 代表介質的力学性質。

黏結性介質的極限平衡条件可作如下解釋：即在極限状态时，切向应力的絕對值与作用在同一微面上法向应力的一定函数間的最大差等於零：

$$\max\{|\tau_n| - f(\sigma_n)\} = 0, \quad (1.02)$$

並且對於理想黏結性介質來說， $f = k$ 。

如果有些微面，其上应力向量的法向分量 $\sigma_n = S$ 和切向分量的絕對值 $|\tau_n| = T$ 能滿足关系式

$$T = f(S),$$

那么这些微面依然叫做滑动微面。这种面有兩個；它們均通过某一根主軸，並以相同的角度傾斜於另二根主軸。

在轉变为極限状态的区域中，可以作出非正交的兩簇滑动面系，其確定的方法与前述一样。

O. 摩尔应力圖能給出物体某点应力状态的明晰的几何概念。在这圖上沿着横軸截取应力向量的法向分量 σ_n ，而沿着縱軸截取切向分量的絕對值 $|\tau_n|$ 。由熟知的變換公式

$$\sigma_n = \sigma_1 l^2 + \sigma_2 m^2 + \sigma_3 n^2, \quad \tau_n^2 = \sigma_1^2 l^2 + \sigma_2^2 m^2 + \sigma_3^2 n^2,$$

[其中 l, m, n 是法綫 n 与主軸 1, 2, 3 (圖 1) 間夾角的方向余弦], 以及下述明顯的等式

$$l^2 + m^2 + n^2 = 1$$

就容易求得方向余弦的平方:

$$l^2 = \frac{(\sigma_n - \sigma_2)(\sigma_n - \sigma_3) + \tau_n^2}{(\sigma_1 - \sigma_2)(\sigma_1 - \sigma_3)},$$

$$m^2 = \frac{(\sigma_n - \sigma_3)(\sigma_n - \sigma_1) + \tau_n^2}{(\sigma_2 - \sigma_3)(\sigma_2 - \sigma_1)},$$

$$n^2 = \frac{(\sigma_n - \sigma_1)(\sigma_n - \sigma_2) + \tau_n^2}{(\sigma_3 - \sigma_1)(\sigma_3 - \sigma_2)}.$$

因为左边部分是正的, 而 $\sigma_1 \geq \sigma_2 \geq \sigma_3$, 所以应当滿足下列不等式:

$$(\sigma_n - \sigma_2)(\sigma_n - \sigma_3) + \tau_n^2 \geq 0,$$

$$(\sigma_n - \sigma_3)(\sigma_n - \sigma_1) + \tau_n^2 \leq 0,$$

$$(\sigma_n - \sigma_1)(\sigma_n - \sigma_2) + \tau_n^2 \geq 0,$$

上列諸式在簡單變換之后可具有下列形式:

$$\left[\sigma_n - \frac{1}{2}(\sigma_2 + \sigma_3) \right]^2 + \tau_n^2 \geq \frac{1}{4}(\sigma_2 - \sigma_3)^2,$$

$$\left[\sigma_n - \frac{1}{2}(\sigma_3 + \sigma_1) \right]^2 + \tau_n^2 \leq \frac{1}{4}(\sigma_3 - \sigma_1)^2,$$

$$\left[\sigma_n - \frac{1}{2}(\sigma_1 + \sigma_2) \right]^2 + \tau_n^2 \geq \frac{1}{4}(\sigma_1 - \sigma_2)^2.$$

顯然, 用坐标 $\sigma_n, |\tau_n|$ 所定出的、表示該微面上应力向量的所有点子均位於圖 2 影陰部分的曲綫三角形 PQR 中。

圍成这三角形的三个圆周表示通过某一主軸的那些微面上的应力

向量。圓周与 σ_n 軸各交於 P, Q, R 点，三点之横坐标为 $\sigma_1, \sigma_2, \sigma_3$ ，圓周之半徑各为：

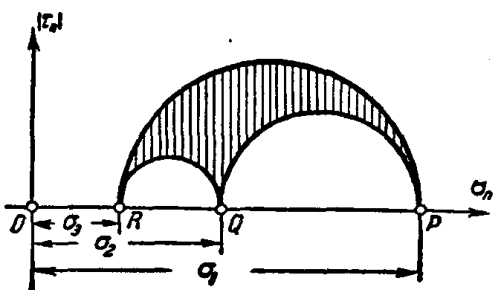


圖 2

$$\frac{1}{2}(\sigma_2 - \sigma_3), \quad \frac{1}{2}(\sigma_1 - \sigma_3),$$

$$\frac{1}{2}(\sigma_1 - \sigma_2).$$

当加上附加的各向拉力时，圓周的半徑並不改变，整个图形僅沿着 σ_n 軸移动而已。

利用应力圖，松散介質的極限状态(1.01)可以很明顯地

在变数 σ_n 和 $|\tau_n|$ 的平面上表示出來。条件

$$T = S \operatorname{tg} \rho + k = (S + H) \operatorname{tg} \rho$$

在这圖上以直線的形式示出，該直線是所有大的主应力半圓的包絡線，並取名为極限直線。對於理想松散介質 $k=H=0$ 而言，这直線通过坐标的原点，而對於理想黏結性介質 $\rho=0$ 而言，它与横軸相平行。松散介質的可能極限状态之一如圖 3 所示。

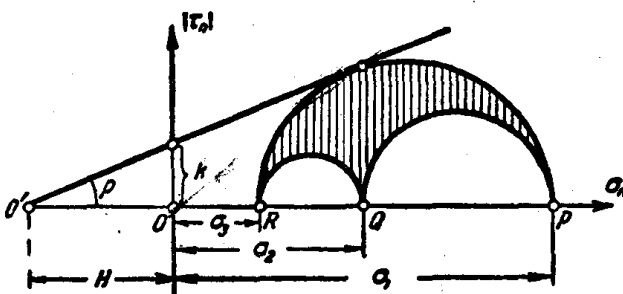


圖 3

用类似的方法，黏結性介質的極限状态(1.02)可以明顯地在变数 σ_n 和 $|\tau_n|$ 的同一平面上表示出來。条件

$$T = f(S)$$